

- Graphes: La qte d'éthanol augmente: c'est un bien  
 ② la qte de glucose diminue: un produit  
 ③ la qte de  $CO_2$  ↑: c'est bien un produit

Le modèle (l'équation-bilan) est en cohérence avec les graphes.

1.2. Il s'agit d'un gaz:  $CO_2$

1.3. vitesse volumique:  $mmol \cdot L^{-1} \cdot min^{-1}$  (j' garde les unités du graphe)

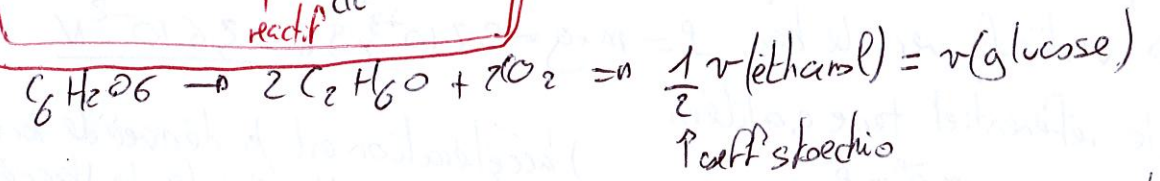
"moyenne": ne pas utiliser la méthode avec la tangente.

$v(\text{éthanol}) = \frac{1}{V} \cdot \frac{n_{\text{final}} - n_{\text{initial}}}{\text{temps}} = \frac{1}{1L} \times \frac{(110 - 0) \text{ mmol}}{180 \text{ min}} = 6,1 \cdot 10^{-1} \text{ mmol} \cdot L^{-1} \cdot \text{min}^{-1}$

$v(\text{glucose}) = - \frac{1}{V} \cdot \frac{n_P - n_i}{\text{temps}} = - \frac{1}{1L} \times \frac{(5 - 38) \text{ mmol}}{180 \text{ min}} = 1,8 \cdot 10^{-1} \text{ mmol} \cdot L^{-1} \cdot \text{min}^{-1}$

1.4.  $\frac{v(\text{éthanol})}{v(\text{glucose})} = \frac{6,1}{1,8} = 3,4$  la vitesse d'apparition de l'éthanol est 3,4 fois  $\oplus$  grande que celle du glucose

modèle:  $\begin{cases} v(\text{éthanol}) = \frac{d[\text{éthanol}]}{dt} \\ v(\text{glucose}) = - \frac{d[\text{glucose}]}{dt} \end{cases}$  le lien entre les vitesses se réfère à la vitesse volumique "globale" de réaction



normalement  $v(\text{éthanol}) = 2 \times v(\text{glucose})$  rapport pas cohérent.

1.5. La vitesse est  $\oplus$  élevée. (cela est dû à la présence d'un facteur cinétique qui peut être la levure.)

1.6.1. Le graphe 3 nous montre un alignement des points expérimentaux suite au graphe 1.6.1. cela correspond au modèle "évolution 2"

1.6.2.  $v(CO_2) = \frac{d[CO_2]}{dt} = \frac{1}{V} \cdot \frac{dn(CO_2)}{dt}$  la vitesse est proportionnelle au coeff. directeur de la droite qui est constante. - La vitesse est constante

1.6.3.  $A \rightarrow 2B + 2C$   
 ordre 1  $v = k[A] = - \frac{d[A]}{dt}$

éthanol:  $v(\text{éthanol}) = k[\text{éthanol}] = \frac{d[\text{éthanol}]}{dt}$   
 dans ce modèle  $v(\text{éthanol})$  diminue d'ordre 1

1.6.4. L'évolution 1: coeff. directeur de la tangente correspond à  $\frac{d(\text{éthanol})}{dt}$  qui est proportionnel à la vitesse. ce coeff. directeur  $\rightarrow$  pour s'annuler cette évolution correspond au modèle d'ordre 1

1.6.5. or expérimentalement, on voit l'évolution 2 donc la réaction étudiée n'est pas d'ordre 1.

Elle serait d'ordre 0!  $v = k[\text{éthanol}]^0 = \frac{d[\text{éthanol}]}{dt}$   
 $k = \frac{d[\text{éthanol}]}{dt}$   
 $[\text{éthanol}] = [\text{éthanol}]_0 + kt$  modèle linéaire

2.1.  $pH = -\log[H_3O^+]$

$CO_2, H_2O$  réagit avec  $H_2O$  pour former  $H_3O^+$ :  $[H_3O^+]$  augmente et donc pH  $\downarrow$

2.2.  $Q_r = K_a$  à l'équilibre  $K_a = \frac{[HCO_3^-]_{eq} \times [H_3O^+]_{eq}}{[CO_2, H_2O]_{aq}}$

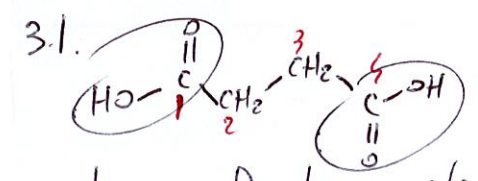
2.3.  $HCO_3^-$  et  $H_3O^+$  sont dans les mêmes proportions stoechiométriques (1)

2.4. on connaît  $pH = 5,8$  on en déduit  $[H_3O^+]_{eq} = 10^{-5,8} \text{ mol} \cdot L^{-1}$  et  $[HCO_3^-]_{eq} = 10^{-5,8} \text{ mol} \cdot L^{-1}$  (voir 2.3)

donc  $[CO_2, H_2O] = \frac{[HCO_3^-] \times [H_3O^+]}{K_a} = \frac{(10^{-5,8})^2}{10^{-6,37}} = 5,9 \cdot 10^{-6} \text{ mol} \cdot L^{-1}$

La concentration de  $CO_2, H_2O$  a diminué (elle était de  $7,0 \cdot 10^{-6} \text{ mol} \cdot L^{-1}$ )

L'acide carbonique a donc réagi avec l'eau, pour former  $H_3O^+$ ,  $[H_3O^+] \uparrow$  et  $pH \downarrow$



il y a 2 fonctions acides carboxyliques

3.2. Acide butandioïque  
 4 carbones 2 fonctions

3.3.  $\sigma_1 = 3000 \text{ cm}^{-1}$  forte liaison OH Acide OH  
 $\sigma_2 = 1700 \text{ cm}^{-1}$  forte liaison C=O Acide

3.4.

$C_4H_6O_4$	$C_4H_5O_4^-$	$C_4H_4O_4^{2-}$
419	563	pH

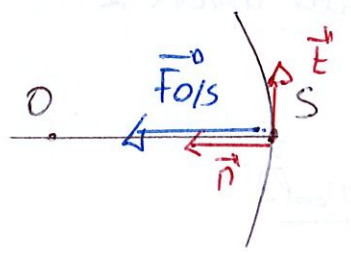
3.6.  $m = C \cdot V \cdot M = 0,031 \times 50,0 \cdot 10^{-3} \times 118$   
 $m = 1,8 \cdot 10^{-1} \text{ g}$  (2cs)

- 3.7. peser 0,18g d'acide (cuvette, balance)  
 • les introduire dans 1 fiole jaugée de 50ml  
 • ajouter de l'eau au 3/4, homogénéiser  
 • compléter au trait de jauge, homogénéiser.

3.8. on mesure un  $pH = 5,0$  pour cet acide  
 or la pâte évolue de  $pH = 6,0$  à  $pH = 4,8$   
 La valeur finale du pH est plus proche de celle de l'acide succinique que celle du pH d'une solution de  $CO_2, H_2O$  ( $pH = 5,8$ )

Exo A) satellite

1- Dans le référentiel géocentrique supposé Galiléen  
 $m \cdot \vec{a} = \vec{F}_{015}$  on utilise le repère de Fréret ( $S; \vec{E}; \vec{n}$ )



$$m \cdot \begin{pmatrix} \frac{dv}{dt} \\ v^2 \\ R_T+h \end{pmatrix} = \begin{pmatrix} 0 \\ \frac{GM \cdot M_T}{(R_T+h)^2} \end{pmatrix}$$

selon  $\vec{E}$ :  $\frac{dv}{dt} = 0$  le mouvement est uniforme

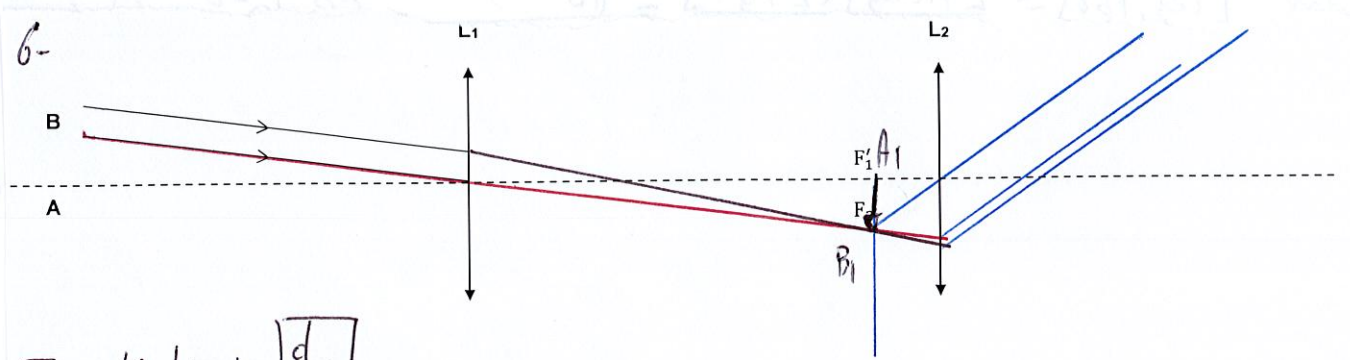
3- selon  $\vec{n}$ :  $\frac{v_s^2}{R_T+h} = \frac{GM_T}{(R_T+h)^2} \Rightarrow v_s = \sqrt{\frac{GM_T}{R_T+h}}$

2-  $T = \frac{(R_T+h)2\pi}{v_s}$

4- inutile d'établir la 3<sup>ème</sup> loi de Kepler  $h = \frac{GM_T}{v_s^2} - R_T$

$h = \frac{6,67 \cdot 10^{-11} \times 5,97 \cdot 10^{24} \text{ kg}}{(2,73 \cdot 10^4 \cdot \frac{10^3}{3600})^2 \text{ m} \cdot \text{s}^{-1}} - 6400 \cdot 10^3 \text{ m} = 524 \text{ km} = 5,24 \cdot 10^2 \text{ km}$

5- Apocal: l'image est formée à l'infini (pas d'accommodation),  $F_1$  confondu avec  $F_2$



7-  $\alpha \approx \tan \alpha = \frac{d}{h}$

8-  $\alpha = \frac{1,0 \text{ m (taille)}}{520 \text{ km} \cdot 10^3 \text{ m}} = 1,9 \cdot 10^{-6} \text{ rad} < \alpha_{\min} = 2,9 \cdot 10^{-4} \text{ rad}$  on ne peut pas le voir à l'œil nu.

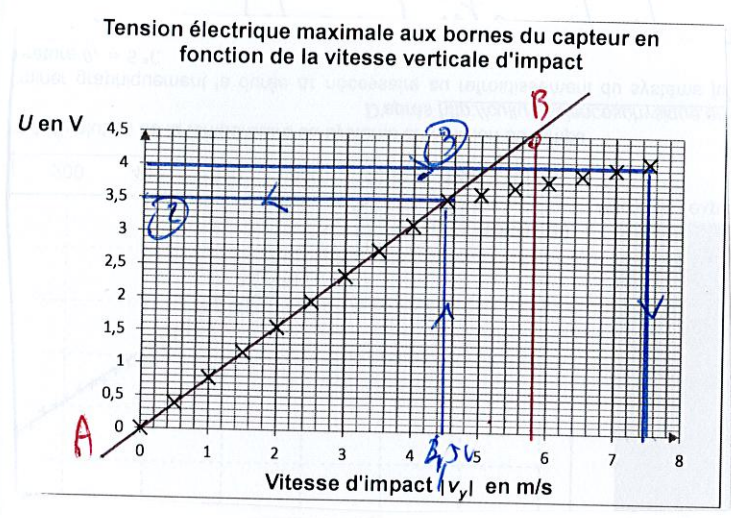
9-  $\alpha' = \alpha \cdot \frac{f_1'}{f_2} = 1,9 \cdot 10^{-6} \times \frac{600 \text{ mm}}{32 \text{ mm}} = 3,6 \cdot 10^{-5} < \alpha_{\min}$  la lunette ne permet pas de voir les détails de la satellite.

Exo B) table de Lennis de cam

1- pour  $|v_y| < 4,5 \text{ ms}^{-1}$  les points sont alignés et on peut les relier, les modéliser par la fonction linéaire. Il y a proportion entre  $U$  et  $|v_y|$  sur ce domaine

coefficient directeur:  $R = \frac{y_B - y_A}{x_B - x_A} = \frac{(4,5 - 0) \text{ V}}{(5,8 - 0) \text{ ms}^{-1}} = 7,8 \cdot 10^{-1} \text{ V} \cdot \text{m}^{-1} \cdot \text{s}$

soit  $U = 0,78 \cdot |v_y|$   
 ordonnée                      abscisse



2- sur le graphique, le modèle linéaire a un domaine de définition  $DF = [0; 4,5] \text{ ms}^{-1}$   
 donc  $0,78 \cdot 0 \leq U \leq 0,78 \cdot 4,5 = 3,5 \text{ V}$

3- ligne après "else" car  $U$  dépasse 3,5V  
 $v = 5,0 \cdot U - 13 = 5,0 \times 4,0 - 13 = 7,0 \text{ m} \cdot \text{s}^{-1}$   
 graphiquement on trouve  $7,5 \text{ m} \cdot \text{s}^{-1}$   
 $\frac{\Delta v}{v} = \frac{7,5 - 7,0}{7,0} = \frac{0,5}{7} = 7\% \text{ d'écart}$

4- on assimile le centre de masse au centre de gravité où est appliquée le point.  
 on suppose donc qu'il n'y a pas d'autres forces appliquées.

5- poids: vertical, vers le bas,  $P = m \cdot g = 2,7 \cdot 10^{-3} \times 9,8 = 2,6 \cdot 10^{-2} \text{ N}$

6- Dans le référentiel terre galiléen

$m \vec{a} = \vec{P}$   
 $\vec{P} = m \vec{g}$   
 sur  $ox$ :  $a_x = 0$   
 sur  $oy$ :  $a_y = -g$

l'accélération est la dérivée de la vitesse  
 la vitesse est l'intégrale de l'accélération  
 sur  $ox$ :  $v_x = v_{0x} = v_0 \cos \alpha$   
 sur  $oy$ :  $v_y = -gt + v_{0y} = -gt + v_0 \sin \alpha$

7- La position  $(x; y)$  est l'intégrale de la vitesse  
 (vitesse initiale  $\vec{v}_0 = (v_0 \cos \alpha; v_0 \sin \alpha)$ )  
 $x = v_0 \cos \alpha \cdot t + 0$   
 $y = -\frac{1}{2} g t^2 + v_0 \sin \alpha \cdot t + h$

8- calculons l'abscisse  $x_i = v_0 \cos \alpha \cdot t_i = 5,0 \times \cos(30^\circ) \times 0,55 \text{ s} = 2,4 \text{ m} < 2,74 \text{ m}$

⊕ court que la longueur de la table!

9- il faut calculer  $v_y = -gt + v_0 \sin \alpha$   
 $v_y = -9,8 \times 0,55 + 5,0 \cdot \sin 30 = -2,89 \text{ ms}^{-1} < 4,5 \text{ ms}^{-1}$   
 on prend le modèle  $U = 0,78 \cdot |v_y| = 0,78 \times 2,89 = 2,26 \text{ V}$

Exo C) rattrapage

1. Dans le référentiel Terre Galiléen

$\Delta E = Q + W$  le système n'a pas de vitesse macroscopique, ni d'altitude

$\Delta U = Q + W$  pas de travail reversé

$\Delta U = Q$

$\Delta U = \cancel{m} \cdot C \cdot (\theta_f - \theta_i)$  pas de masse ici : C en  $J \cdot K^{-1}$  et non pas en  $J \cdot K^{-1} \cdot kg^{-1}$

2.  $\Delta U = 1,50 \cdot 10^3 \times (5^\circ - 25^\circ) = \underline{-3 \cdot 10^4 J}$  (1cs) négative car le système cède de l'énergie

3. La température diminue, l'agitation moléculaire diminue, l'énergie cinétique microscopique diminue

4.  $\Delta t = 930 s$

5.  $\Phi = \frac{\Delta U}{\Delta t} = \frac{-30 \cdot 10^3}{930} = \underline{-32 W}$

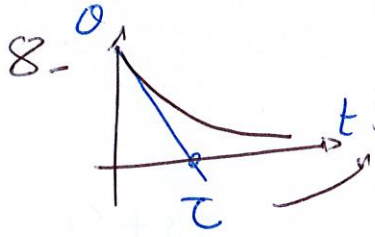
6. Le modèle tracé est un modèle ~~affine~~ linéaire: il y a proportion entre  $\Phi$  et  $\theta_f - \theta_i$   
 cette proportion est égale à  $hS$  d'après la loi de Newton:  $\Phi = hS(\theta_f - \theta_i)$   
 cette proportion est égale aussi au coeff. directeur de la droite R.

$R = \frac{y_B - y_A}{x_B - x_A} = \frac{(-50 - 0) W}{(-50 - 0) K} = \underline{1,0 \cdot W \cdot K^{-1}}$   
 on fait une  $\neq$  de  $t$ : en Kelvin

$hS = 1,0 W \cdot K^{-1}$   
 $h = \frac{1,0 W \cdot K^{-1}}{S} = \frac{1,0 W \cdot K^{-1}}{3,2 \cdot 10^{-2} m^2}$   
 $h = \underline{3,1 \cdot 10^1 W \cdot K^{-1} \cdot m^{-2}}$

il y a 31 W perdus par mètre carré et par degré d'écart ce qui est dans la gamme donnée (entre 5 et 50  $W \cdot K^{-1} \cdot m^{-2}$ )

7.  $\theta(t) = (\theta_i - \theta_{th}) e^{-\frac{hS}{c}t} + \theta_{th}$   
 L'exp exponentielle est toujours de la forme  $e^{-t/\tau}$   
 L' soit  $\tau = \frac{c}{hS} = \frac{1,50 \cdot 10^3 J \cdot K^{-1}}{3,1 \cdot 10^1 W \cdot K^{-1} \cdot m^{-2} \times 3,1 \cdot 10^{-2} m^2} = \underline{1,6 \cdot 10^3 s}$



l'exp  $\tau = 950 s$   
 écart relatif:  $\frac{\Delta \tau}{\tau} = \frac{1600 - 950}{950} = 41\% \text{ d'écart.}$

La loi de Newton de la thermique  $\theta = (\theta_i - \theta_{th}) e^{-\frac{hS}{c}t} + \theta_{th}$  n'est pas pertinente.